

مطالعه‌ی آزمایشگاهی بر مدول برشی دینامیکی بیشینه ماسه‌ی کربناتی بوشهر

مهمنشی عمارت شرف، (همار ۱۳۹۶) دری ۳، شماره ۲، ص. ۵۰-۵۱

پاسو جعفریان* (استادیار)

پژوهشگاه بین‌المللی زلزله‌شناسی و مهندسی زلزله

حامد جاودانیان (استادیار)

دانشکده‌ی فنی و مهندسی، دانشگاه نهرکرد

عبدالحسین حداد (دانشیار)

دانشکده‌ی مهندسی عمران، دانشگاه سمنان

رفتار دینامیکی مصالح کربناتی جنوب ایران علی‌رغم خطر بالای لرزه‌خیزی و موقعیت استراتژیک آن مورد توجه چندانی قرار نگرفته است. در پژوهش حاضر، مدول برشی بیشینه ماسه‌ی کربناتی بوشهر با انجام آزمون‌های آزمایشگاهی ستون تشدید مود مطالعه قرار گرفته است. مدول برشی بیشینه، یکی از مهم‌ترین کمیت‌های ژئوتکنیکی در تحلیل‌های دینامیکی است. اثر فشار محدودکننده میانگین و نسبت تخلخل در روند تغییرات این کمیت بررسی شده است. آزمایش‌ها در دو حالت همسان و غیرهمسان انجام شده‌اند. تا اثر ناهمسانی تشن در رفتار خاک مشخص شود. نتایج نشان داده‌اند که افزایش فشار میانگین و کاهش نسبت تخلخل، افزایش مدول برشی ماسه را به دنبال دارد. ناهمسانی تشن تحکیم اولیه نیز موجب افزایش مدول برشی بیشینه شده است. براساس نتایج پژوهش حاضر رابطه‌ی برای مدول برشی بیشینه ماسه‌ی کربناتی بوشهر ارائه و سپس با مدل‌های پیشنهادی پژوهشگران مقایسه شده است. درنهایت، اثر ناهمسانی تشن در تغییرات مدول برشی بیشینه لحاظ شده است.

yjafarianm@iies.ac.ir
javdanian@eng.sku.ac.ir
ahadad@semnan.ac.ir

واژگان کلیدی: مدول برشی بیشینه، ماسه‌ی کربناتی، ماسه‌ی سیلیکاته، ناهمسانی تشن، ستون تشدید.

۱. مقدمه

مدول برشی خاک در کرنش‌های برشی کوچک ($\gamma < 10^{-5}$) را مدول برشی بیشینه^۱ (G_{\max}) می‌نامند. این کمیت از کمیت‌های اساسی در تحلیل‌های ژئوتکنیک لرزه‌بی از جمله بررسی اثرات ساختگاهی به شمار می‌آید.^[۱] مدول برشی بیشینه هم به روش صحرایی و هم به روش آزمایشگاهی قابل محاسبه است.^[۲] در روش آزمایشگاهی معمولاً از آزمون‌های ستون تشدید استفاده می‌شود. براساس مطالعات آزمایشگاهی پژوهشگران، فشار محدودکننده مؤثر میانگین (σ_c') و نسبت تخلخل (e) از عوامل بسیار مؤثر در مدول برشی بیشینه به شمار می‌آیند.^[۳] فرم کلی رابطه‌ی ۱، که براساس آزمون‌های آزمایشگاهی بر روی خاک‌های ماسه‌یی حاصل شده است، توسط بسیاری از پژوهشگران مورد تأیید واقع شده است.^[۴]

$$G_{\max} = A \cdot F(e) \cdot (\sigma_c')^n \quad (1)$$

که در آن، $F(e)$ تابعی از نسبت تخلخل، A ضریبی است که به نوع خاک بستگی دارد، و n ضریبی است که به رابطه‌ی $\sigma_c' - G_{\max}$ بستگی دارد. در ادامه،

* نویسنده مسئول

تاریخ: دریافت ۷/۱۲/۱۳۹۳، اصلاحیه ۱۸/۶/۱۳۹۴، پذیرش ۷/۱۴/۱۳۹۴.

بخش وسیعی از کره‌ی زمین را خاک‌ها و رسوبات کربناتی تشکیل داده است.^[۵] بسیاری از این نواحی که شامل ساخت و سازه‌های گستردگی نیز است، خطر لرزه‌خیزی بالایی دارند. از این رو، ارزیابی دقیق‌تر رفتار خاک‌های کربناته، اهمیت بالایی دارد. نتایج آزمون‌های مکانیک خاک صحرایی و آزمایشگاهی بر روی

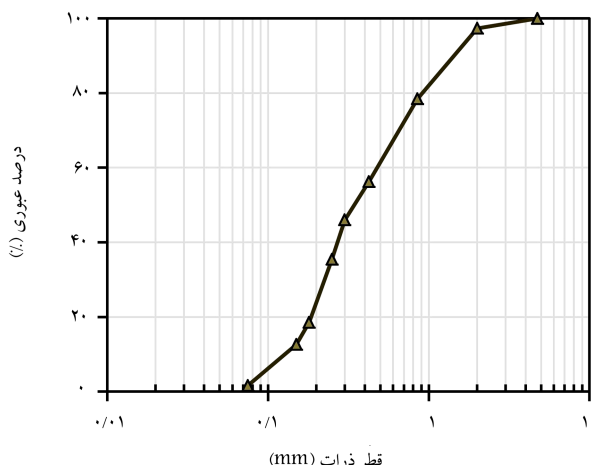
جغرافیایی ۲۸/۹ درجه تهیه شده است. بندر بوشهر یکی از بنادر بزرگ تجاری ایران و با موقعیت استراتژیک و همچنین مخازن نفتی و گازی بسیار است. خطر لرزه‌خیزی مناطق مذکور نیز با بروز زلزله‌های بسیار در سال‌های اخیر از جمله زلزله‌های رخداده در شهرهای کاکی، شنبه، و بوشکان در استان بوشهر و خسارت‌های ناشی از آنها اثبات شده است.

به منظور بررسی کانی خاک مورد استفاده در این پژوهش، آزمایش پراش اشعه‌ی ایکس (XRD)^۷ بر روی خاک صورت گرفته و نتایج حاصل از آزمایش مذکور، که در آزمایشگاه میکروسکوپ الکترونی دانشکده‌ی مهندسی مواد دانشگاه سمنان انجام شده است، نشان از کربنات‌بودن این خاک داشته است. آزمایش پراش اشعه‌ی ایکس برای تعیین عناصر موجود در مصالح مختلف از جمله خاک انجام می‌شود.^{۱۴} نتیجه‌ی آزمایش نشان داده است که عنصر غالب در ماسه‌ی بوشهر، کربنات کلسیم (CaCO₃) است.

نمودار دانه‌بندی ماسه‌ی مورد استفاده در آزمایش‌ها در شکل ۲ نشان داده شده است. این خاک براساس سیستم طبقه‌بندی متعدد ماسه‌ی بد دانه‌بندی شده (SP) بوده و مشخصات آن در جدول ۱ ارائه شده است.

۲.۲. برنامه‌ی آزمایش‌ها

آزمایش‌های این پژوهش با مشخصات ارائه شده در جدول ۲ انجام شده است. آزمایش‌ها در فشارهای میانگین ۴۰، ۲۰۰ و ۴۰۰ kPa) با چگالی‌های نسبی ۵۰٪ و ۸۰٪ و در دو حالت تحکیم همسان^۸ و ناهمسان^۹ صورت گرفته است.



شکل ۲. منحنی دانه‌بندی ماسه‌ی کربناتی مورد آزمایش.

جدول ۱. مشخصات ماسه‌ی مورد استفاده در آزمایش‌ها.

کمیت	
$G_S = 2,70$	چگالی ویژه
$e_{max} = ۰,۸۸۳$	نسبت تخلخل بیشینه
$e_{min} = ۰,۶۷۱$	نسبت تخلخل کمینه
$D_{50} = ۰,۳۵ \text{ mm}$	اندازه‌ی متوسط ذرات
$D_{10} = ۰,۱۴ \text{ mm}$	اندازه‌ی مؤثر ذرات
$C_u = ۳,۴۳$	ضریب یکنواختی
$C_c = ۰,۸$	ضریب دانه‌بندی

خاک‌های کربناتی و غیرکربناتی نشان از تقاضت رفتاری این خاک‌ها داشته است.^{۱۰}

نتایج مطالعات انجام شده و همچنین اهمیت بروزه‌های عمرانی در نواحی با خاک‌ها و رسوبات کربناتی، لزوم بررسی دقیق‌تر رفتار خاک‌های کربناتی این نواحی را روشن می‌سازد.^{۱۱}

جهت حصول نتایج نزدیک به واقعیت باید آزمون‌های آزمایشگاهی با شبیه‌سازی کامل شرایط تشخیص صحرابی صورت گیرد. محیط خاک در طبیعت می‌تواند تحت شرایط تشخیص پیچیده‌ی قرار داشته باشد، که یکی از آن شرایط ممکن، المان‌های تحت تنش برشی اولیه است.

در مطالعاتی اثر تنش برشی با انجام آزمون‌های سیکلی بر روی ماسه‌ی توپورا بررسی شده است، که نتایج آن بیانگر اثر قابل ملاحظه‌ی کمیت مذکور بر رفتار سیکلی خاک است.^{۱۲}

پژوهشگران با انجام آزمون‌های سه‌محوری سیکلی برشی بر روی نمونه‌های استوانه‌ی توخالی خاک سیلت به بررسی اثر تنش بر پژوهشگران اولیه پرداخته‌اند،^{۱۳} که نتایج آن بیانگر اثر قابل ملاحظه‌ی نسبت تنش برشی اولیه^۲ در منحنی‌های تنش - کرنش خاک است.

در پژوهش حاضر، مدل پژوهشی ماسه‌ی کربناتی بوشهر، از بنادر بزرگ جنوبی ایران و در ساحل خلیج فارس، در کرنش برشی کوچک با استفاده از آزمون‌های آزمایشگاهی ستون تشدید^۳ مورد مطالعه قرار گرفته است. اثر فشار محدودکننده‌ی میانگین^۴ (σ_c') و نسبت تخلخل^۵ (e) به عنوان مهم‌ترین عوامل مؤثر در رفتار خاک‌های دانه‌بندی، در مدل پژوهشی^۶ (G_{max}) خاک کربناتی بوشهر بررسی شده است. مطالعات آزمایشگاهی در دو حالت همسان و ناهمسان انجام شده است، تا اثر شرایط تشخیص حاکم بر المان خاک در رفتار کرنش - کوچک آن نیز مشخص شود؛ لذا براساس نتایج آزمایشگاهی به دست آمده، رابطه‌ی بین ارزیابی مدل پژوهشی ماسه‌ی کربناتی بوشهر ارائه و با مدل‌های پیشنهادی پژوهشگران مقایسه شده است. درنهایت، انعکاس اثر ناهمسانی تنش^۶ با اعمال ضریبی در رابطه‌ی ارائه شده صورت گرفته است، تا مدل پیشنهادی این پژوهش جهت پیش‌بینی مدل پژوهشی ماسه‌ی کربناتی بوشهر نیز مورد استفاده قرار گیرد.

۲. مطالعات آزمایشگاهی

۲.۱. خاک مورد آزمایش

خاک مورد آزمایش در این پژوهش، ماسه‌ی بوشهر بوده است (شکل ۱)، که از جنوب ایران و در سواحل خلیج فارس در موقعیت طول جغرافیایی ۵۰/۸ درجه و عرض



شکل ۱. ماسه‌ی کربناتی بوشهر.

جدول ۲. برنامه‌ی آزمایش‌های ستون تشدید انجام شده در پژوهش حاضر.

β	e	σ'_c (kPa)	B (%)	نوع تحکیم
۰	۰/۷۷۶	۴۰	۹۷/۱	همسان
۰/۲	۰/۷۷۸	۴۰	۹۸/۶	ناهمسان
۰/۴	۰/۷۷۷	۴۰	۹۷/۱	ناهمسان
۰	۰/۷۰۵	۴۰	۹۵/۳	همسان
۰/۲	۰/۷۰۷	۴۰	۱۰۰	ناهمسان
۰/۴	۰/۷۱۱	۴۰	۹۶/۷	ناهمسان
۰	۰/۷۷۷	۲۰۰	۱۰۰	همسان
۰/۲	۰/۷۷۶	۲۰۰	۹۸/۵	ناهمسان
۰/۴	۰/۷۷۷	۲۰۰	۹۸/۶	ناهمسان
۰	۰/۷۱۰	۲۰۰	۹۹/۴	همسان
۰/۲	۰/۷۱۱	۲۰۰	۹۹/۸	ناهمسان
۰/۴	۰/۷۱۲	۲۰۰	۹۷/۱	ناهمسان
۰	۰/۷۷۳	۴۰۰	۱۰۰	همسان
۰/۲	۰/۷۷۴	۴۰۰	۹۷/۱	ناهمسان
۰/۴	۰/۷۷۵	۴۰۰	۹۸/۶	ناهمسان
۰	۰/۷۰۸	۴۰۰	۹۹/۲	همسان
۰/۲	۰/۷۱۴	۴۰۰	۱۰۰	ناهمسان
۰/۴	۰/۷۱۴	۴۰۰	۹۷/۱	ناهمسان

B : کثیت فشار آب منفذی اسکمپتون [۱۵]

σ'_c : فشار محدودکننده مؤثر میانگین

e : نسبت تخلخل پس از تحکیم

β : نسبت تنش برشی اولیه ($\Delta\sigma'_c / 2\sigma'_c$) ($\Delta\sigma'_c$)

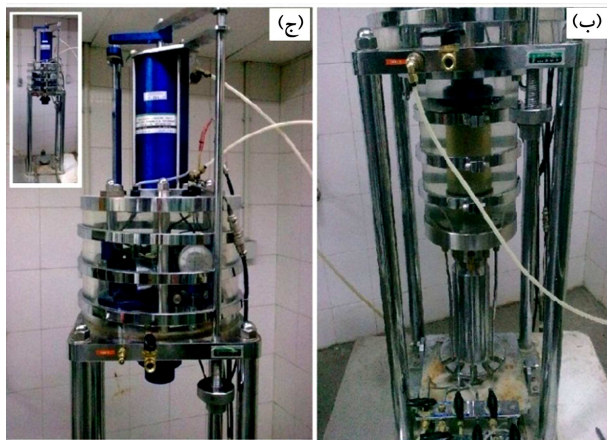
$\Delta\sigma'_c$: تنش انحرافی مؤثر ($\sigma'_c - \sigma'_1$)

σ'_1 : تنش مؤثر بیشینه

σ'_3 : تنش مؤثر محدودکننده کمینه



الف) سیستم کنترل و ثبت نتایج؛



ب) سلوول بارگذاری؛



ج) سیستم بارگذاری الکترومغناطیسی.

شکل ۳. دستگاه ستون تشدید.

اعمال شده است. نمونه‌های مورد آزمایش به قطر mm ۷۰ و ارتفاع ۱۰۰ mm بوده‌اند.

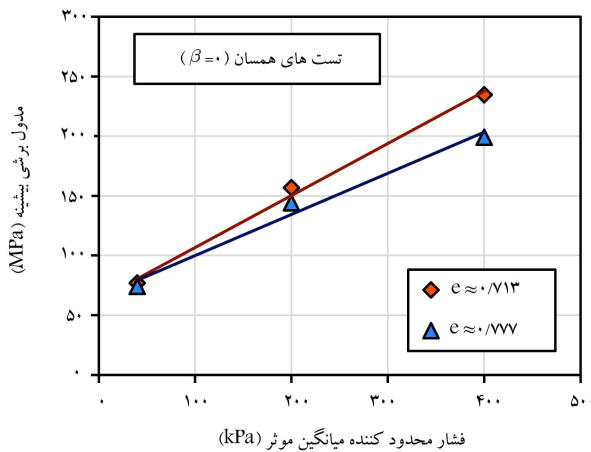
۴.۲. دستگاه ستون تشدید

آزمایش‌های پژوهش حاضر در آزمایشگاه ژئوتکنیک پژوهشگاه بین‌المللی زلزله‌شناسی و مهندسی زلزله‌ی تهران و با دستگاه ستون تشدید مدل SEIKEN انجام شده‌اند. دستگاه ذکر شده شامل سیستم کنترل و ثبت نتایج، سلوول بارگذاری، و سیستم بارگذاری الکترومغناطیسی است (شکل ۳) و دقت بسیار بالایی در ثبت نتایج دارد و نیز از نوع برش پیچشی با شرایط انتهایی گیردار - آزاد است و قابلیت انجام آزمایش در محدوده‌ی دامنه‌های کرنش برشی ۱۰^{-۲۰} تا ۱۰^{۱۵}٪ دارد. آزمایش‌های ستون تشدید این پژوهش براساس استاندارد ASTM D ۴۰۱۵ انجام شده است. در آزمایش ستون تشدید، نمونه‌های استوانه‌ی خاک به وسیله‌ی یک سیستم الکترومغناطیسی تحت تحریکات پیچشی قرار می‌گیرند و بسامد و دامنه‌ی تحریکات اعمالی به وسیله‌ی دستگاه قابل کنترل است. نمونه در مقادیر مختلف دامنه و با بسامد متغیر بارگذاری و پاسخ نمونه به این تحریکات به وسیله‌ی شتاب‌سنج اندازه‌گیری می‌شود. سپس بسامد بارگذاری تدریجاً افزایش می‌یابد، تا اینکه پاسخ نمونه به مقدار بیشینه برسد (شکل ۴). بسامد متناظر با پاسخ بیشینه‌ی شتاب‌سنج (A_r) را بسامد تشدید (f_r) می‌نامند.

۴.۳. روش ساخت نمونه‌ی آزمایش

در پژوهش حاضر نمونه‌سازی به روش پاشش خشک و به صورت ریختن ماسه در چندین لایه به درون یک قالب استوانه‌ی با پوشش غشای لاستیکی انجام شده است. با توجه به اینکه باید نمونه‌ها در پایان مرحله‌ی تحکیم به تراکم موردنظر می‌رسیدند، تراکم اولیه برای نمونه‌سازی کمتر از مقدار نهایی در نظر گرفته شده است. مقدار تغییر نسبت تخلخل نمونه به فشار محدودکننده واپسی بوده است، که با انجام آزمون‌های اولیه، حدود تقریبی آن برای تنش های محدودکننده مختلف حاصل شده است. پس از قراردادن نمونه درون سلوول آزمایش و به منظور تسريع در اشباع کردن نمونه، گاز دی‌اسکیدکربن (CO₂) و سپس آب هوایگری شده از نمونه عبور داده شده است. سپس به نمونه پس فشار^۰ اعمال شده است. در آزمایش‌های انجام شده در این پژوهش، ملاک اشباع شدن نمونه، رسیدن به ضریب فشار آب حفره‌ی اسکمپتون بوده است.

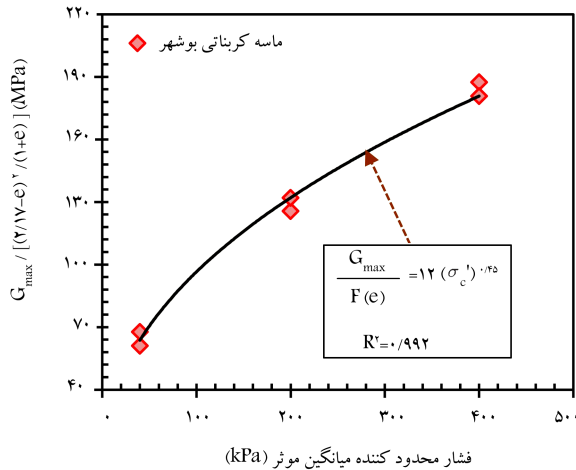
در پایان، نمونه‌ها در تنش‌های محدودکننده‌ی میانگین مختلف و با چگالی‌های نسبی متفاوت در دو حالت تنش همسان و ناهمسان با نسبت‌های تنش برشی اولیه‌ی متفاوت مورد تحکیم قرار گرفته و سپس بارگذاری در حالت زهکشی نشده



شکل ۵. اثر فشار محدودکننده میانگین و نسبت تخلخل در مدول برشی بیشینه.

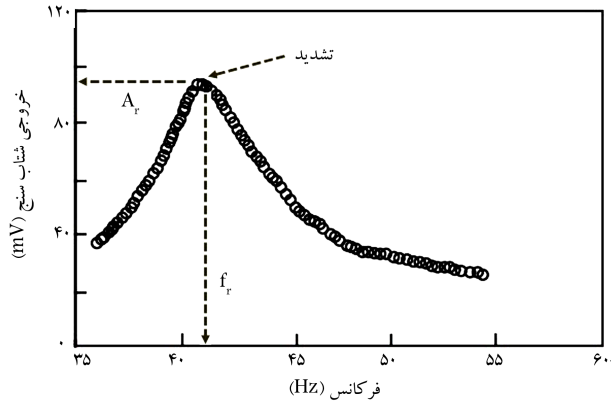
جدول ۳. ضرایب رابطه‌ی مدول برشی بیشینه (رابطه‌ی ۱).

n	$F(e)$	A	مرجع
۰/۵	$\frac{(۲/۱۷-e)^۲}{(۱+e)}$	۳/۳	[۱۷]
۰/۵	$\frac{(۳۲/۱۷-۱۴/۸e)^۲}{(۱+e)}$	۰/۰۳۲	[۱۸]
۰/۴	$\frac{(۲/۱۷-e)^۲}{(۱+e)}$	۱۴/۱	[۱۹]
۰/۳۸	$\frac{(۲/۱۷-e)^۲}{(۱+e)}$	۹	[۲۰]
۰/۵	$\frac{(۲/۱۷-e)^۲}{(۱+e)}$	۸/۴	[۲]
۰/۵	$\frac{(۲/۱۷-e)^۲}{(۱+e)}$	۷	[۲۱]



شکل ۶. تغییرات مدول برشی بیشینه نرمال شده با فشار محدودکننده میانگین.

در پژوهش حاضر با قبول رابطه‌ی نسبت تخلخل – $(۲/۱۷ - e)/(۱+e)$ و با استفاده از نتایج آزمایش‌های ستون تشدید در حالت همسان و ترسیم تغییرات $G_{\max}/F(e)$ در مقابل فشار محدودکننده میانگین، مقدار ضرایب n برای ماسه‌ی کربناتی بوشهر به ترتیب برابر ۱۲ و ۰/۴۵ حاصل شده است (شکل ۶). بنابراین رابطه‌ی 4 ، برای ارزیابی مدول برشی بیشینه ماسه‌ی کربناتی بوشهر پیشنهاد شده است:



شکل ۴. منحنی پاسخ سامد.

سرعت موج برشی به کمک بسامد تشدید و کرنش برشی به کمک شتاب بیشینه حاصل می‌شود.^[۲] سپس مدول برشی بیشینه (G_{\max}) خاک با استفاده از رابطه‌ی ۳ به دست می‌آید:

$$G_{\max} = \rho V_s^4 \quad (3)$$

که در آن، V_s سرعت موج برشی و ρ جرم جمی نمونه است.

در آزمون‌های آزمایش‌های ستون تشدید پژوهش حاضر، مدول برشی بیشینه ماسه‌ی کربناتی بوشهر در کرنش برشی حدود $۴۰ - ۴۵$ ٪ اندازه‌گیری شده است.

۳. تحلیل نتایج

۱.۳. اثر فشار میانگین و نسبت تخلخل بر G_{\max}

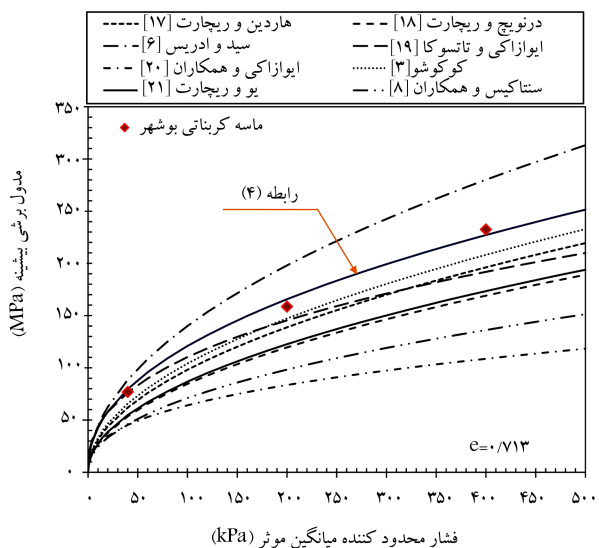
همان‌طورکه در شکل ۵ مشاهده می‌شود، با افزایش فشار محدودکننده میانگین مؤثر

(σ')، مدول برشی بیشینه افزایش یافته است. با افزایش فشار محدودکننده میانگین نرخ تغییرات مدول برشی بیشینه کاهش یافته است، به طوری که در آزمایش‌های با چگالی نسبی $۰/۵۰$ ٪ ($e = ۰/۷۷۷$)، افزایش فشار محدودکننده میانگین از ۴۰ تا ۲۰۰ kPa (و از ۲۰۰ تا ۴۰۰ kPa) به ترتیب افزایش $۰/۳۸$ ٪ و $۰/۹۴۷$ ٪ مدول برشی بیشینه را به دنبال داشته است. همچنین نتایج نشان می‌دهند که با افزایش نسبت تخلخل، مدول برشی بیشینه ماسه‌ی کربناتی بوشهر کاهش یافته است.

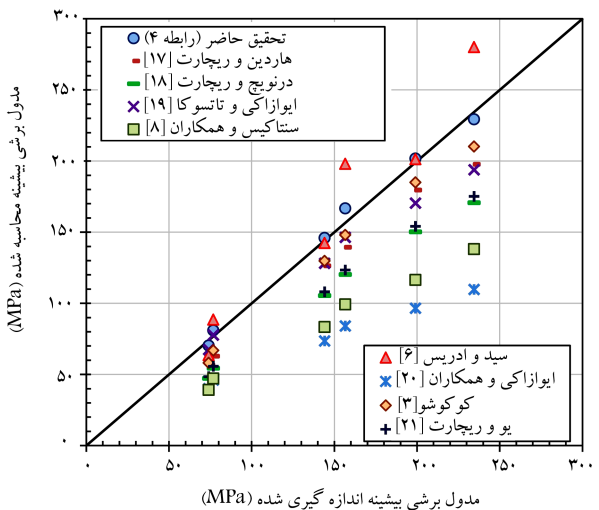
باید توجه کرد که میزان تأثیر نسبت تخلخل در تغییرات مدول برشی بیشینه به میزان فشار محدودکننده میانگین بستگی داشته و با افزایش σ' اثر کاهش نسبت تخلخل در افزایش G_{\max} بیشتر شده است. اگرچه تغییر نسبت تخلخل از $۰/۷۷۷$ در فشار ۴۰ kPa $= ۰/۷۱۳$ در فشار ۴۰۰ kPa تأثیر قابل ملاحظه‌ی در مدول برشی بیشینه ماسه‌ی کربناتی بوشهر نداشته است، اما این کاهش نسبت تخلخل در فشارهای میانگین ۲۰۰ و ۴۰۰ kPa به ترتیب افزایش $۰/۸/۸$ ٪ و $۰/۱۷/۶$ ٪ در مدول برشی بیشینه را به دنبال داشته است. همچنین، اثر فشار محدودکننده میانگین و نسبت تخلخل در روند تغییرات مدول برشی بیشینه ماسه‌ی کربناتی بوشهر با نتایج مطالعات دیگر پژوهشگران مطابقت داشته است.^[۱]

۲. پیشنهاد ضرایب و مقایسه با روابط پیشین

پژوهشگران با انجام آزمون‌های آزمایشگاهی بر روی خاک‌های ماسه‌ی و با استفاده از فرم کلی رابطه‌ی مدول برشی بیشینه (رابطه‌ی ۱)، ضرایب A و n و همچنین عبارت $F(e)$ را به صورت جدول ۳ ارائه کرده‌اند.



شکل ۷. مقایسه‌ی تغییرات σ'_c – G_{\max} حاصل از روابط موجود و همچنین رابطه‌ی پیشنهادی.



شکل ۸. مقایسه‌ی مدول برشی بیشینه حاصل از آزمایش‌ها با نتایج حاصل از روابط.

پیزوالکتریک به بررسی اثر شرایط تنش در سرعت موج برشی (V_s) پرداخته‌اند.^[۲۱] که نتایج به دست آمده بیانگر افزایش سرعت موج برشی در اثر ناهمسانی تنش بوده است. اثر نسبت تنش اولیه بر روی مدول کشسانی (E) نیز به روش عددی و با مدل سازی شرایط تنش ناهمسان مورد بررسی قرار گرفته است.^[۲۲] که نتایج حاصل بیانگر وابستگی مدول کشسانی در هر جهت (E_i) به مؤلفه‌ی تنش در آن جهت (σ_i) بوده و نسبت تنش، اثر قابل ملاحظه‌ی در این کمیت داشته است و نیز با افزایش σ'_c ، اثر ناهمسانی تنش در مدول برشی بیشینه نیز روبرو به افزایش بوده است. در نسبت تخلخل $e = 0, 777$ (D_r = ۵۰٪) افزایش ضربی ناهمسانی تنش از $\beta = ۰, ۴$ تا $\beta = ۰, ۵$ در فشارهای محدودکننده میانگین (kPa) ۴۰۰، ۲۰۰ و ۴۰ نسبت σ'_c (kPa) به ترتیب افزایش ۹٪، ۵٪ و ۱۱٪ مدول برشی بیشینه را به دنبال داشته است (شکل ۹). همچنین نتایج نشان می‌دهند که کاهش نسبت تخلخل افزایش چگالی نسیعی) موجب افزایش اثر ناهمسانی تنش در تغییرات مدول برشی بیشینه ماسه‌ی کربناتی بوشه شده است، به طوری که در حالت $\sigma'_c = ۴$ kPa

$$G_{\max} = 12 \frac{(2/17 - e)^4}{(1+e)} (\sigma'_c)^{0.45} \quad (4)$$

که در آن، σ'_c واحد MPa و G_{\max} واحد kPa دارند. مقایسه‌ی تغییرات مدول برشی بیشینه در مقابل فشار محدودکننده میانگین ($G_{\max} - \sigma'_c$) حاصل از رابطه‌ی پیشنهادی پژوهش حاضر (رابطه‌ی ۴) و همچنین روابط دیگر پژوهشگران برای نسبت تخلخل $e = 0, 713$ در شکل ۷ نشان داده شده است.

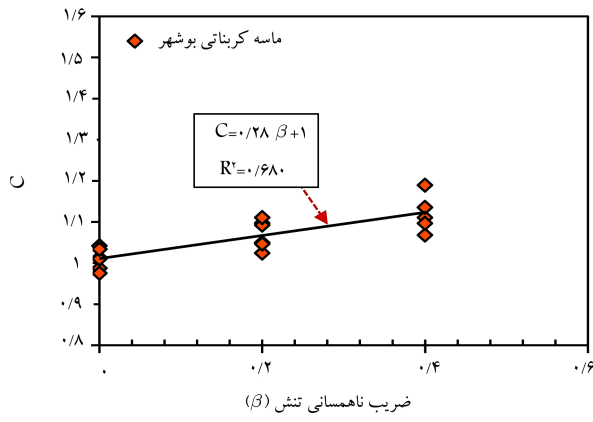
همان‌طور که در شکل ۷ مشاهده می‌شود، بیشتر روابط پیشنهادی پژوهشگران، تغییرات مدول برشی بیشینه ماسه‌ی کربناتی بوشه در مقابل فشار محدودکننده میانگین را کمتر از نتایج آزمایشگاهی پیش‌بینی کردند. روابط موجود براساس نتایج آزمایش‌های انجام شده بر روی خاک‌های سیلیکاتی ارائه شده‌اند. ساختار خاک‌های کربناتی (مانند ماسه‌ی کربناتی بوشه) متفاوت از خاک‌های سیلیکاتی است. شکل ذرات و زبری سطح ذرات از تفاوت این خاک‌ها هستند. تیزگوش بودن و زبری سطح ذرات افزایش مدول برشی بیشینه ماسه خواهد شد. به همین دلیل تفاوت رفتاری ماسه‌ی کربناتی مورد آزمایش با روابط موجود را می‌توان به تفاوت در نوع کانی، شکل ذرات و ساختار خاک ماسه‌های کربناتی در مقایسه با ماسه‌های سیلیکاتی نسبت داد.

رابطه‌ی ارائه شده‌ی سید و ادریس،^[۱۶] تغییرات σ'_c – G_{\max} ماسه‌ی کربناتی بوشه را به مقدار قابل توجهی بیشتر از مقادیر آزمایشگاهی ارائه می‌دهد. قابل توجه است که اختلاف روابط موجود با نتایج آزمایشگاهی بر روی ماسه‌ی کربناتی بوشه و همچنین رابطه‌ی پیشنهادی پژوهش حاضر (رابطه‌ی ۴)، با افزایش فشار محدودکننده میانگین افزایش یافته است (شکل ۷).

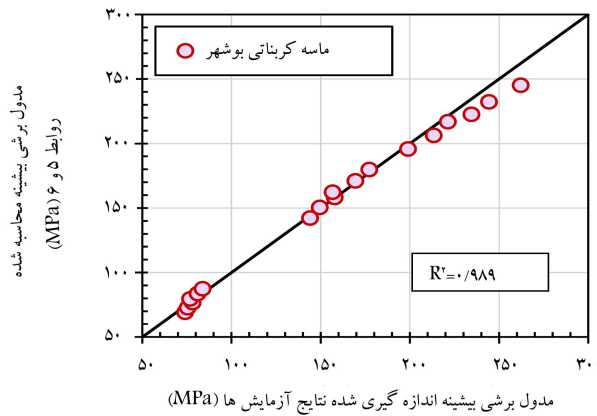
عملکرد روابط پیشنهادی پژوهشگران و همچنین رابطه‌ی ارائه شده در پژوهش حاضر (رابطه‌ی ۴)، در ارزیابی مدول برشی بیشینه ماسه‌ی کربناتی بوشه با مقایسه مقادیر حاصل از روابط مذکور و مقادیر حاصل از آزمایش‌های ستون تشدید در شرایط تحکیم همسان بر روی این خاک، در شکل ۸ نشان داده است. رابطه‌ی ایوازکی و همکاران،^[۲۰] اگرچه براساس نتایج آزمایش‌های ستون تشدید بر روی ۱۱ نوع ماسه‌ی سیلیکاتی ارائه شده است، اما بیشترین اختلاف در ارزیابی مدول برشی بیشینه ماسه‌ی کربناتی بوشه به مقدار قابل توجهی ارائه شده است. رابطه‌ی سنتاکیس و همکاران،^[۱۴] علی‌رغم لحاظ اثر دانه‌بندی در محاسبه‌ی مدول برشی بیشینه، مقادیر این کمیت را برای ماسه‌ی کربناتی بوشه به مقادیر قابل توجهی کمتر از تایپ آزمون‌های ستون تشدید ارائه داده است. رابطه‌ی کوکوشو،^[۲۱] نسبت به سایر روابط، دقت بالاتری در ارزیابی G_{\max} خاک مورد آزمایش دارد. همان‌طور که در شکل ۸ نشان داده شده است، رابطه‌ی پیشنهادی این پژوهش، دقت بالایی در پیش‌بینی مدول برشی بیشینه ماسه‌ی کربناتی بوشه دارد. اختلاف نتایج حاصل از روابط پیشین با نتایج مطالعات آزمایشگاهی این پژوهش را می‌توان به تفاوت در نوع کانی، شکل ذرات، و ساختار خاک‌های کربناتی و سیلیکاتی مرتبط دانست.

۳.۳ اثر ناهمسانی تنش بر G_{\max} و رابطه‌ی پیشنهادی

اثر ناهمسانی تنش بر مدول برشی بیشینه ماسه‌ی کربناتی بوشه در فشارهای محدودکننده میانگین (kPa) $\sigma'_c = ۴۰, ۲۰۰, ۴۰۰$ و نسبت $\sigma'_c = ۴۰, ۲۰۰, ۴۰۰$ و نسبت $e = ۰, 713, ۰, 777$ در شکل ۹ نشان داده شده است. نتایج بیانگر آن است که با افزایش نسبت تنش برشی اولیه ($\beta = ۰, ۴$ تا $\beta = ۰, ۵$)، مدول برشی بیشینه افزایش یافته است. این روند افزایشی با مطالعات دیگر پژوهشگران،^[۲۲] بر روی اثر تنش ناهمسان در رفتار خاک مطابقت دارد. برخی پژوهشگران با انجام آزمایش‌های خمش



شکل ۱۰. تغییرات ضریب C در مقابل نسبت ناهمسانی تنش.



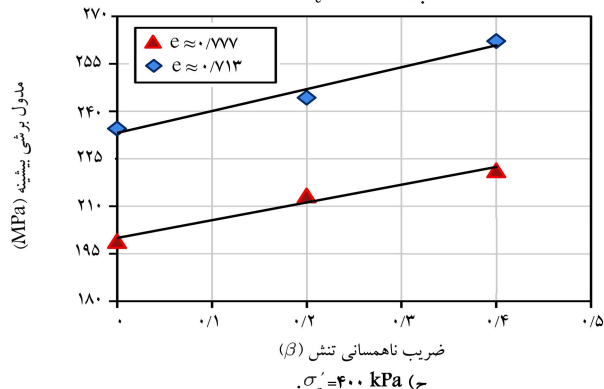
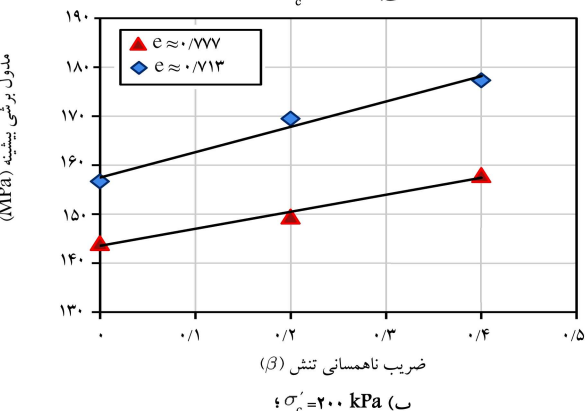
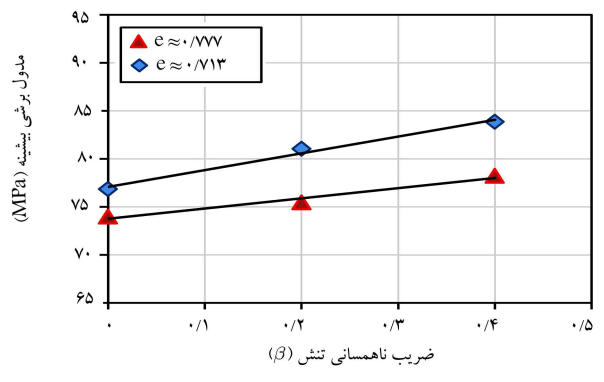
شکل ۱۱. مقایسه نتایج مدول برشی بیشینه حاصل از آزمایش ها با نتایج حاصل روابط ۵ و ۶.

کربناتی بوشهر در شرایط همسان و ناهمسان (روابط ۵ و ۶) با مقایسه نتایج حاصل از آزمایش های ستون تشدید و مقادیر مدول برشی بیشینه حاصل از روابط ۵ و ۶ در شکل ۱۱ نشان داده است.

همان طور که در شکل ۱۱ مشاهده می شود، رابطه پیشنهادی دقت قابل قبولی در ارزیابی مدول برشی بیشینه ماسه کربناتی بوشهر در حالت همسان و ناهمسان دارد. بنابراین می توان جهت ارزیابی دقیق تر مدول برشی بیشینه ماسه کربناتی بوشهر برای استفاده در مسائل عملی ژئوتکنیک لرزه بی، رابطه پیشنهادی این پژوهش را استفاده کرد.

۴. نتیجه گیری

مدول برشی بیشینه، یکی از کمیت های مهم و اساسی در حل مسائل ژئوتکنیک لرزه بی است. مرور مطالعات پیشین حاکی از آن است که روابط ارائه شده برای مدول برشی بیشینه براساس آزمایش های انجام شده بر روی خاک های سیلیکاته حاصل شده است. براساس مطالعات زمین شناسی، مناطق زیادی از کره زمین پوشیده از خاک ها و رسوبات کربناتی است. بخش های زیادی از نواحی جنوبی کشورمان، که لرزه خیزی آن با بروز زلزله های بسیار در سال های اخیر اثبات شده است، پوشیده از خاک های کربناتی است. از این رو در این پژوهش، مدول برشی بیشینه ماسه کربناتی بوشهر با انجام آزمایش های ستون تشدید مورد



شکل ۹. اثر ناهمسانی تنش در G_{max} ماسه کربناتی بوشهر.

افزایش ضریب ناهمسانی تنش از $\beta = 0$ تا $\beta = 0.4$ در نسبت های تخلخل بهتر از $\beta = 0.713$ و $\beta = 0.777$ در مقدار مدول برشی بیشینه را به همراه داشته است (شکل ۹(الف)).

برای انکاس اثر ناهمسانی تنش در تغییرات مدول برشی بیشینه ماسه کربناتی بوشهر، ضریب C در رابطه ۴ لحظه شده است (رابطه ۵)، سپس این ضریب برای آزمایش های همسان و ناهمسان محاسبه شده است. اثر ناهمسانی تنش در تغییرات ضریب C در شکل ۱۰ نشان داده شده است. ضریب C به صورت رابطه ۶ پیشنهاد می شود:

$$G_{max} = 12C \frac{(2/17 - e)^2}{(1 + e)} (\sigma'_c)^{1/4} \quad (5)$$

$$C = 0.28\beta + 1 \quad (6)$$

عملکرد رابطه پیشنهادی این پژوهش جهت ارزیابی مدول برشی بیشینه ماسه ک

مطالعه قرار گرفته و اثر فشار محدودکننده میانگین و نسبت تخلخل بر مدول برشی بیشینه این خاک بررسی شده است. آزمایش‌ها در دو حالت همسان و ناهمسان انجام شده است، تا اثر شرایط تششی اولیه بر این کمیت مشخص شود.

نتایج بدست آمده نشان می‌دهد که با افزایش فشار محدودکننده میانگین و کاهش نسبت تخلخل، مدول برشی بیشینه ماسه‌ی کربناتی بوشهر افزایش یافته است، که این روند تغییرات با مطالعات گذشته در تطبیق است. نزد تغییرات مدول برشی بیشینه با افزایش فشار محدودکننده میانگین کاهش یافته است، به طوری که در آزمایش‌های با چگالی نسبی $\sigma_e = 5\%$ ، افزایش فشار محدودکننده میانگین مؤثر از 40 تا 200 (kPa) و از 200 تا 400 (kPa) به ترتیب موجب افزایش نسبت $\beta = 38/1\%$ و $94/7\%$ مدول برشی بیشینه شده است. نتایج بیانگر آن است که میزان تأثیر نسبت تخلخل در تغییرات مدول برشی بیشینه به میزان فشار محدودکننده میانگین بستگی داشته و با افزایش σ_e اثر کاهش نسبت تخلخل در تغییرات G_{max} بیشتر شده است. اگرچه تغییر نسبت تخلخل از $777/0$ تا $713/0$ در فشار 40 kPa = 5% تأثیر قابل ملاحظه‌ی در مدول برشی بیشینه ماسه‌ی کربناتی بوشهر نداشته است، اما این کاهش نسبت تخلخل در فشارهای میانگین 200 و 400 (kPa) به ترتیب افزایش $8/8\%$ و $17/9\%$ در مدول برشی بیشینه این خاک را به دنبال داشته است.

مدول برشی بیشینه ماسه‌ی مورد آزمایش با افزایش ناهمسانی تشش افزایش یافته است. این روند افزایشی بیانگر وابستگی مدول برشی بیشینه به مؤلفه‌ی تشش در جهت اندازه‌گیری این کمیت است. براساس نتایج پژوهش حاضر، با افزایش σ_e اثر ناهمسانی تشش در مدول برشی بیشینه رو به افزایش است. در نسبت تخلخل $e = 777/0$ ، $D_r = 50\%$ ، افزایش ضریب ناهمسانی تشش از $\beta = 4/0$ به $0/0$ در فشارهای محدودکننده میانگین 40 ، 200 و 400 (kPa) به

ترتیب افزایش $7/5\%$ ، $9/6\%$ و $11/5\%$ مدول برشی بیشینه را به دنبال داشته است. همچنین نتایج نشان می‌دهند که کاهش نسبت تخلخل (افزایش چگالی نسبی) موجب افزایش اثر ناهمسانی تشش در تغییرات مدول برشی بیشینه ماسه‌ی کربناتی بوشهر شده است، به طوری که در حالت $\sigma_e = 5\%$ ، افزایش ضریب ناهمسانی تشش از $\beta = 0/0$ در نسبت‌های تخلخل $777/0$ ، $713/0$ به ترتیب افزایش $7/5\%$ و $9/6\%$ در مقدار مدول برشی بیشینه را به همراه داشته است.

براساس نتایج آزمایش‌ها در حالت همسان بر روی ماسه‌ی کربناتی بوشهر، ضرایب رابطه‌ی کلی مدول برشی بیشینه اصلاح شده است (رابطه‌ی 4). مقایسه‌ی نتایج آزمایش‌های همسان با نتایج حاصل از روابط مطالعات پیشین بر روی خاک‌های سیلیکاتی نشان داده است که روابط مذکور، قابلیت ارزیابی دقیق مقادیر مدول برشی بیشینه ماسه‌ی کربناتی بوشهر را ندارند. علت آن را می‌توان به تفاوت در نوع کانی، شکل ذرات، و ساختار خاک‌های کربناتی و سیلیکاتی مرتبط دانست.

در ادامه، با استفاده از نتایج آزمایش‌های انجام شده بر روی نمونه‌های ناهمسان تحکیم یافته، ضریبی (رابطه‌ی 5) جهت انعکاس اثر ناهمسانی تشش در رابطه‌ی G_{max} اعمال شده است، تا رابطه‌ی پیشنهادی این پژوهش قابل تعمیم به شرایط تشش ناهمسان نیز باشد. مقایسه‌ی رابطه‌ی پیشنهادی (رابطه‌ی 5) با نتایج آزمایش‌های ستون تشدید در شرایط همسان و ناهمسان، نشانگر دقت بالای آن در ارزیابی مدول برشی بیشینه ماسه‌ی کربناتی بوشهر است. لذا این رابطه را می‌توان جهت ارزیابی عملی ژئوتکنیک لرزه‌ی می‌ورد استفاده قرار داد.

تقدیر و تشكر

این پژوهش در راستای پژوهشی پژوهشی مصوب و تحت حمایت پژوهشگاه بین‌المللی زلزله‌شناسی و مهندسی زلزله با کد فعالیت 6723 و کد پژوهش 545 انجام شده است.

پانوشت‌ها

1. maximum shear modulus
2. initial shear stress
3. resonant column
4. mean effective confining pressure
5. void ratio
6. stress anisotropy
7. X-ray diffraction
8. isotropic
9. anisotropic
10. back pressure

منابع (References)

1. Jafarian, Y., Haddad, A. and Javdanian, H. "Predictive model for normalized shear modulus of cohesive soils", *Acta Geodynamica et Geomaterialia*, **11**(1), pp. 89-100 (2015).
2. Kramer, S.L., *Geotechnical Earthquake Engineering*, Prentice Hall Inc., 670 p. (1996).
3. Kokusho, T. "Cyclic triaxial test of dynamic soil properties for wide strain range", *Soils and Foundations*, **20**(2), pp. 45-60 (1980).
4. Ishihara, K., *Soil Behaviour in Earthquake Geotechnics*, Oxford University Press Inc. (1996).
5. Jafarian, Y., Ghorbani, A. and Ahmadi, O. "Simplified dynamic analysis to evaluate liquefaction-induced lateral deformation of earth slopes: A computational fluid dynamics approach", *Earthquake Engineering and Engineering Vibration*, **13**(3), pp. 555-568 (2014).
6. Seed, H.B. and Idriss, I.M., *Soil Moduli and Damping Factors for Dynamic Response Analyses*, Technical Report, EERC 70-10, Earthquake Engineering Research Center, University of California, Berkeley, California, 82 p. (1970).
7. Bui, M., Clayton, C. and Priest, J. "Effects of particle shape on G_{max} of geomaterials", *Proceedings of the 4th International Conference on Earthquake Geotechni-*

- cal Engineering*, Thessaloniki, Greece, Paper No. 1536 (2007).
8. Senetakis, K., Anastasiadis, A. and Pitilakis, K. "The small-strain shear modulus and damping ratio of quartz and volcanic sands", *Geotech Testing Journal, ASTM*, **35**(6), pp. 964-980 (2012).
 9. Holmes, A., *Principles of Physical Geology*, Nelson, London, 730 p. (1978).
 10. Brandes, H.G. "Simple shear behavior of calcareous and quartz sands", *Geotechnical and Geological Engineering*, **29**(1), pp. 113-126 (2011).
 11. Shahnazari, H. and Rezvani, R. "Effective parameters for the particle breakage of calcareous sands: An experimental study", *Engineering Geology*, **159**, pp. 98-105 (2013).
 12. Jafarian, Y., Towhata, I., Baziari, M.H., Noorzad, A. and Bahmanpour, A. "Strain energy based evaluation of liquefaction and residual pore water pressure in sands using cyclic torsional shear experiments", *Soil Dynamic and Earthquake Engineering*, **35**, pp. 13-28 (2012).
 13. Wang, Z., Luo, Y., Guo, H. and Tian, H. "Effects of initial deviatoric stress ratios on dynamic shear modulus and damping ratio of undisturbed loess in China", *Engineering Geology*, **143-144**, pp. 43-50 (2012).
 14. Srodon, J., Drits, V.A., McCarty, D.K., Hsieh, J.C. Eberl, D.D. "Quantitative X-ray diffraction analysis of clay-bearing rocks from random preparations", *Clays and Clay Minerals*, **49**(6), pp. 514-528 (2001).
 15. Skempton, A.W. "The pore pressure coefficients A and B", *Geotechnique*, **4**(4), pp. 143-147 (1954).
 16. Wichtmann, T. and Triantafyllidis, T. "Influence of the grain-size distribution curve of quartz sand on the small strain shear modulus G_{\max} ", *Journal of Geotechnical and Geoenvironmental Engineering*, **135**(10), pp. 1404-1418 (2009).
 17. Hardin, B.O. and Richart, F.E. "Elastic wave velocities in granular soils", *Journal of Soil Mechanics and Foundations Division, ASCE*, **89**(SM1), pp. 33-65 (1963).
 18. Drnevich, V.P. and Richart, F.E. "Dynamic prestraining of dry sand", *Journal of Soil Mechanics and Foundations Division, ASCE*, **96**(SM2), pp. 451-469 (1970).
 19. Iwasaki, I. and Tatsuoka, F. "Effects of grain size and grading on dynamic shear modulus of sands", *Soils and Foundations*, **38**(1), pp. 19-35 (1977).
 20. Iwasaki, T., Tatsuoka, F. and Takagi, Y. "Shear moduli of sands under cyclic torsional shear loading", *Soils and Foundations*, **18**(1), pp. 39-56 (1978).
 21. Yu, P.J. and Richart, J.F.E. "Stress ratio effects on the shear modulus of dry sands", *Journal of Geotechnical Engineering, ASCE*, **110**(3), pp. 331-345 (1984).
 22. Hao, G. and Lok, T.M.H. "Study of shear wave velocity of macao marine clay under anisotropic stress condition", *The 14th World Conference on Earthquake Engineering, WCEE*, Beijing, China (12-17 October 2008).
 23. Gu, X.Q., Yang, J. and Huang, M. "DEM simulations of the small strain stiffness of granular soils: Effect of stress ratio", *Granular Matter*, **15**(3), pp. 287-298 (2013).